

浙江大学 20_12 - 20_13 学年 春夏 学期

《 电磁场与电磁波 》课程期末考试试卷

课程号： 11120010 ，开课学院： 信电系

考试试卷：√A 卷、B 卷（请在选定项上打√）

考试形式：闭、√开卷（请在选定项上打√），允许带 课本 入场

考试日期： 2013 年 7 月 6 日，考试时间： 120 分钟

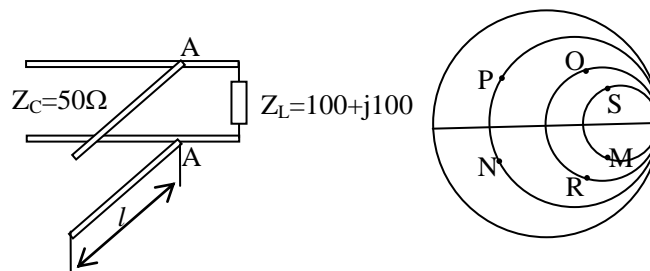
诚信考试，沉着应考，杜绝违纪。

考生姓名： 学号： 所属院系：

| 题序 | 一 | 二 | 三 | 四 | 五 | 总分 |
|-----|---|---|---|---|---|----|
| 得分 | | | | | | |
| 评卷人 | | | | | | |

一、单项选择题(每小题 2 分，共 40 分)

- 一圆柱空腔谐振器，在其内部放入一小块介质，问其谐振频率（ A ）
A. 变小 B. 不变 C. 变大 D. 不一定
- 如下图所示，一个 $100+j100\Omega$ 的负载接特征阻抗为 50Ω 的传输线时，在阻抗圆图上的位置大致在（ D ）
A. M 点 B. N 点 C. P 点 D. S 点



- 上题中为了消除负载处的反射，用单可变电纳匹配器进行匹配，在 AA 面处接入一终端开路的传输线，已知负载经过主传输线到达 AA 面处的导纳为上面导纳圆图的 O 点，问并联开路传输线的最短长度 l 为（ C ）
A. $l < \lambda/4$ B. $l = \lambda/4$ C. $\lambda/4 < l < \lambda/2$ D. $l = \lambda/2$
- 表示光纤端面接收光的能力的性能参数为（ B ）
A. 截止波长 B. 数值孔径 C. 色散 D. 纤芯折射率

5. 各向异性介质是指：(B)

- A. ϵ 、 μ 、 σ 与电磁波在空间传播的方向性无关； B. ϵ 、 μ 、 σ 与电磁波在空间传播的方向性有关
C. 不同方向的 E、H 不相同 D. k、E、H 相互垂直

6. 有关天线增益和天线方向性的描述，不正确的是 (B)

- A. 天线增益考虑了天线材料中的欧姆损耗，而天线方向性则没有；
B. 天线增益是馈入天线电磁信号的放大倍数，方向性是指波束的指向方向；
C. 方向图主瓣越窄，副瓣越小，天线方向性就越大，天线增益也越高
D. 天线方向性和增益都表示了天线把输入功率集中辐射的程度

7. 在传输线上当观察点由负载向信号源方向移动时，对应于阻抗圆图上 (A)

- A. 沿等反射系数圆顺时针方向移动 B. 沿等电阻圆移动
C. 沿等反射系数圆逆时针方向移动 D. 沿等电抗圆移动

8. 一平面波以垂直光轴的方向入射单轴电各向异性介质，电磁波的极化方向与光轴成 45 度。已知各向异性介质的 o 光折射率为 n_o ，e 光折射率为 n_e ， $\Delta n = |n_o - n_e|$ ，则介质厚度为 (C) 时，出射的电磁波为圆极化波。

- A. $\frac{\lambda}{2\Delta n}$ 的奇数倍 B. $\frac{\lambda}{2\Delta n}$ 的偶数倍 C. $\frac{\lambda}{4\Delta n}$ 的奇数倍 D. $\frac{\lambda}{4\Delta n}$ 的偶数倍

9. 一个 10GHz 的飞机雷达，其所采用的窄波束扫描天线，安装在一个电介质天线罩后面，将天线罩近似看成无耗平板介质板（雷达波束垂直入射）， $\epsilon_r = 4$ ， $\mu_r = 1$ ，则其厚度为 (B) 时，对雷达波束没有反射。

- A. 1 cm B. 1.5 cm C. 2 cm D. 2.5 cm

10. 常用的传输系统中，可以传播 TEM 波的是 (D)

- A. 圆波导 B. 光纤 C. 微带线 D. 同轴线

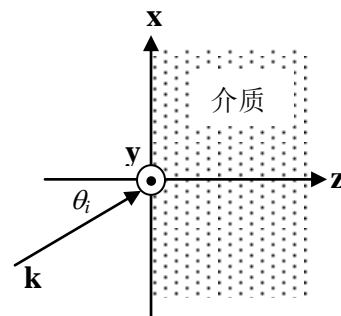
11. 长度为 l 的传输线将负载连接到振荡频率为 f 的正弦电压源，假定线路上的波速为 $2 \times 10^8 \text{ m/s}$ ，对于以下情况，可以忽略传输线影响的是 (A)

- A. $l = 20 \text{ cm}$ ， $f = 10 \text{ kHz}$ B. $l = 50 \text{ km}$ ， $f = 600 \text{ Hz}$
C. $l = 20 \text{ cm}$ ， $f = 300 \text{ MHz}$ D. $l = 1 \text{ mm}$ ， $f = 100 \text{ GHz}$

12. 一个平面波具有以下电场 $E = (\hat{x}j100\sqrt{3} + \hat{y}100 - \hat{z}j100)e^{-j\pi x - j\sqrt{3}\pi z}$ ，

如右图所示，则其极化状态为 (D)

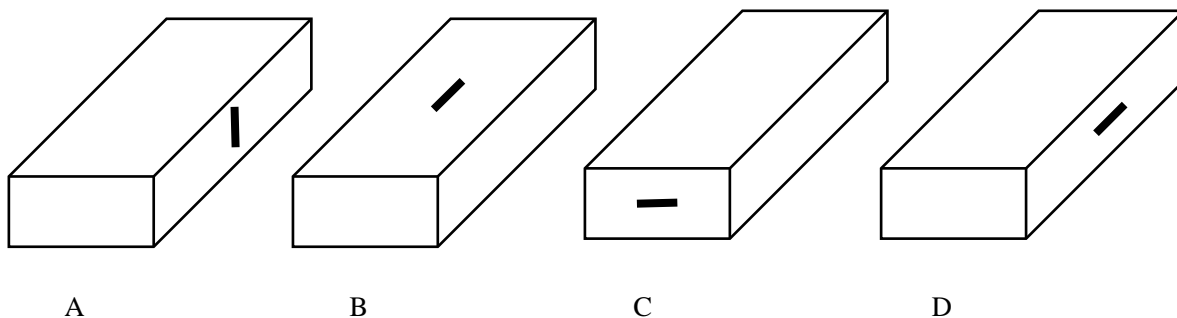
- A. 左旋圆极化 B. 右旋圆极化
C. 左旋椭圆极化 D. 右旋椭圆极化



13. 单模光纤比多模光纤通信容量大的原因是单模光纤不存在 (D)

- A. 材料色散 B. 瑞利散射 C. 波导色散 D. 模式色散

14. 有一个二单元天线阵，两个单元为线天线，沿 z 轴排列，相隔距离为 d ，天线的激励幅度相同，相位差为 ψ ，哪种情况下，沿 z 轴的辐射为零（ C ）
- A. $\psi=\pi/2, d=\lambda/2$ B. $\psi=\pi, d=\lambda/2$ C. $\psi=\pi/2, d=\lambda/4$ D. $\psi=\pi, d=\lambda/4$
15. 有关复介电常数 $\epsilon' = \epsilon + i\frac{\sigma}{\omega}$ 的描述正确的是（ A ）
- A. 实数部分代表位移电流的贡献，它不能引起电磁波功率的耗散；虚数部分是传导电流的贡献，它引起能量耗散。
- B. 实数部分代表传导电流的贡献，它不能引起电磁波功率的耗散；虚数部分是位移电流的贡献，它引起能量耗散。
- C. 实数部分代表位移电流的贡献，它引起电磁波功率的耗散；虚数部分是传导电流的贡献，它不能引起能量耗散。
- D. 实数部分代表传导电流的贡献，它引起电磁波功率的耗散；虚数部分是位移电流的贡献，它不能引起能量耗散。
16. 矩形波导管边长分别为 a 、 b （已知 $a > b$ ），内填相对介电常数为 4 的介质，该波导管能传播的电磁波最大真空波长为（ C ）。
- A. $2a$ B. $2b$ C. $4a$ D. $4b$
17. 在不同介质分界面上电场强度的法向分量和切向分量分别是（ B ）
- A. 都是连续的； B. 不连续的；连续的 C. 连续的；不连续的 D. 都不连续
18. 下面对于趋肤效应的说法错误的是（ D ）
- A. 趋肤深度是指波进入到导体内，幅度衰减为导体表面幅度的 $1/e$ 处的深度
- B. 媒质导电性越好，趋肤深度越小。 C. 频率越高，趋肤深度越小。
- D. 媒质导电性越好，波在媒质中的衰减越慢。
19. 下面的说法不正确的是（ C ）
- A. 相速是指信号恒定相位点的移动速度 B. 在导电媒质中，相速与频率有关
- C. 相速代表信号的能量传播的速度 D. 群速是指信号包络上恒定相位点的移动速度
20. 下列四个由空气填充的矩形谐振腔，谐振于 TE_{102} 模式，在壁上不同位置开同样尺寸的狭缝，问品质因素 Q 最小的是（ C ）



二、计算题（每题 15 分，共 60 分）

1、已知自由空间中均匀平面波的电场为： $\mathbf{E}(\mathbf{r}) = (j\sqrt{2}\mathbf{x}_0 + \mathbf{y}_0 2 + j\mathbf{z}_0\sqrt{2})e^{-j(2x+by+cz)}\text{V/m}$

试求：（1）波的传播方向（提示：求出 b, c ，然后写出波矢方向）；波长、极化状态

（2）该平面波的磁场

（3）时间平均坡印亭功率流 $\langle \mathbf{S}(\mathbf{t}) \rangle$

解：由题意得波矢量： $\mathbf{k} = \mathbf{x}_0 2 + \mathbf{y}_0 b + \mathbf{z}_0 c$ ，考虑平面波的电场与传播方向垂直，故 $\mathbf{k} \cdot \mathbf{E} = 0$ ，即：

$$\mathbf{k} \cdot \mathbf{E}_0 = (2\mathbf{x}_0 + b\mathbf{y}_0 + c\mathbf{z}_0) \cdot (j\sqrt{2}\mathbf{x}_0 + 2\mathbf{y}_0 + j\sqrt{2}\mathbf{z}_0) = 2\sqrt{2}j + 2b + j\sqrt{2}c = 0$$

则： $b = 0, c = -2$

因此，波矢量 $\mathbf{k} = 2\mathbf{x}_0 - 2\mathbf{z}_0$ ，则波传播方向的单位矢量为： $\boldsymbol{\kappa} = \frac{\mathbf{k}}{k} = \frac{1}{\sqrt{2}}(\mathbf{x}_0 - \mathbf{z}_0)$

波长为： $\lambda = \frac{2\pi}{k} = \frac{2\pi}{\sqrt{8}} = 2.22m$

另外，电场的复振幅可写为： $\mathbf{E}_0 = \mathbf{y}_0 2 + \mathbf{j}(\sqrt{2}\mathbf{x}_0 + \sqrt{2}\mathbf{z}_0)$

则： $|E_{0R}| = |E_{0I}| = 2$ 该均匀平面波是左旋圆极化波。

（2）与 $\mathbf{E}(\mathbf{r})$ 相应的磁场为： $\mathbf{H}(\mathbf{r}) = \frac{1}{\eta_0} \boldsymbol{\kappa} \times \mathbf{E}(\mathbf{r})$

$$\begin{aligned} &= \frac{1}{120\pi} \frac{1}{\sqrt{2}} (\mathbf{x}_0 - \mathbf{z}_0) \times (j\sqrt{2}\mathbf{x}_0 + \mathbf{y}_0 2 + j\mathbf{z}_0\sqrt{2}) e^{-j(2x-2z)} \\ &= \frac{1}{120\pi} (\sqrt{2}\mathbf{x}_0 - 2j\mathbf{y}_0 + \sqrt{2}\mathbf{z}_0) e^{-j(2x-2z)} \end{aligned}$$

（3）

$$\begin{aligned} \langle \mathbf{S}(\mathbf{t}) \rangle &= \frac{1}{2} \text{Re} \{ \mathbf{E} \times \mathbf{H}^* \} = (\mathbf{j}\sqrt{2}\mathbf{x}_0 + \mathbf{y}_0 2 + \mathbf{j}\sqrt{2}\mathbf{z}_0) \times \left[\frac{1}{120\pi} (\sqrt{2}\mathbf{x}_0 + 2j\mathbf{y}_0 + \sqrt{2}\mathbf{z}_0) \right] \\ &= \frac{1}{2} \frac{\mathbf{E}_0^2}{120\pi} \boldsymbol{\kappa} = \frac{1}{2} \frac{8}{120\pi} \frac{1}{\sqrt{2}} (\mathbf{x}_0 - \mathbf{z}_0) = \frac{\sqrt{2}}{60\pi} (\mathbf{x}_0 - \mathbf{z}_0) \end{aligned}$$

2、一个线极化平面波从自由空间入射到 $\epsilon_r = 3, \mu_r = 1$ 的介质分界面上，

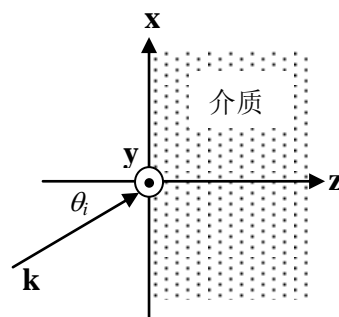
波矢 \mathbf{k} 在 $x-z$ 平面内（如图）。如果入射波的电场与入射面（ $x-z$ 平面）的夹角为 45° ，问：（1）入射角 θ_i 为多少时，反射波中只有垂直极化波；（2）

此时反射波的平均功率流是入射波的百分之几？

解：

（1）因为入射波的电场与入射面的夹角为 45° ，可分解为等量 TE 波和 TM 波的叠加。要使得反射波中只有垂直极化波，即要求入射角为布儒斯特角，此时，TM 波的反射为 0，所以

$\theta_i = \arctan(\sqrt{\frac{\epsilon_{r2}}{\epsilon_{r1}}}) = \arctan \sqrt{3}, \theta_i = \frac{\pi}{3}$ 时，反射波只有垂直极化波。



此时, $k_1 = k_0$, $k_{1x} = k_1 \sin \theta_i = \frac{\sqrt{3}}{2} k_0 = k_{2x}$, $k_{1z} = k_1 \cos \theta_i = 0.5k_0$,

$$k_{2z} = \sqrt{k_2^2 - k_{2x}^2} = 1.5k_0$$

TE 波的反射系数 $\Gamma_2 = \frac{k_{z1} - k_{z2}}{k_{z1} + k_{z2}} = \frac{0.5k_0 - 1.5k_0}{0.5k_0 + 1.5k_0} = -0.5$, 即 TE 反射功率是入射 TE 波的 1/4。

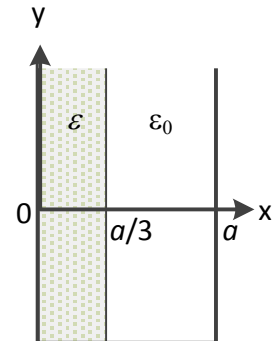
考虑入射波中有等幅 TE 波和 TM 波, 所以反射波的平均功率流是入射波的 1/8。

3、如图所示, 一平行板波导相距为 a , $x > a/3$ 区域是自由空间(ϵ_0, μ_0),

$x < a/3$ 区域充满(ϵ, μ_0)的介质。假设波矢 k 在 x - z 平面, 可知, 波在 x 方向谐振, 沿 z 方向传播。

(1) 求该波导最低阶 TE 模 (电场 y 方向) 的色散关系;

(2) 若 $\epsilon_1 = \epsilon = 4\epsilon_0$, $a = 4\text{cm}$, 求截止频率。



1) 解: (1) 用传输线等效

$$k_{x1} = \sqrt{k_1^2 - k_z^2} = \sqrt{\omega^2 \epsilon \mu_0 - k_z^2}$$

$$k_{x2} = \sqrt{k_2^2 - k_z^2} = \sqrt{\omega^2 \epsilon_0 \mu_0 - k_z^2}$$

$$Y_1 = \frac{k_{x1}}{\omega \mu_0}, Y_2 = \frac{k_{x2}}{\omega \mu_0}$$

以 $x = a/3$ 处为参考面,

$$\bar{Y} = -jY_1 \text{ctg}(k_{x1} \frac{a}{3}); \quad \bar{Y} = -jY_2 \text{ctg}(k_{x2} \frac{2a}{3})$$

由 $\bar{Y} + \bar{Y} = 0$,

得色散方程: $jY_1 \text{ctg}(k_{x1} \frac{a}{3}) + jY_2 \text{ctg}(k_{x2} \frac{2a}{3}) = 0$

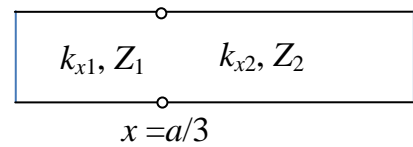
整理后得: $\sqrt{\omega^2 \epsilon \mu_0 - k_z^2} \text{ctg}(\frac{a}{3} \sqrt{\omega^2 \epsilon \mu_0 - k_z^2}) + \sqrt{\omega^2 \epsilon_0 \mu_0 - k_z^2} \text{ctg}(\frac{2a}{3} \sqrt{\omega^2 \epsilon_0 \mu_0 - k_z^2}) = 0$

(2) 截止时, $k_z = 0$, $k_{x1} = k_1 = \sqrt{\omega^2 \epsilon \mu_0} = 2k_0$, $k_{x2} = k_2 = \sqrt{\omega^2 \epsilon_0 \mu_0} = k_0$, $Z_2 = 2Z_1$

$$2k_0 \text{ctg}(\frac{a}{3} 2k_0) + k_0 \text{ctg}(\frac{2a}{3} k_0) = 0, \Rightarrow \text{ctg}(\frac{2a}{3} k_0) = 0$$

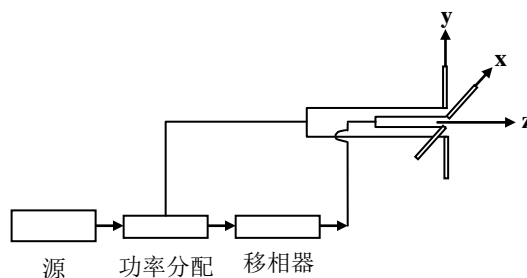
$$k_0 \frac{2a}{3} = \frac{\pi}{2} \Rightarrow \frac{2\pi}{\lambda_c (\text{cm})} \times 4 = \pi \Rightarrow \lambda_c = 10.67 \text{cm}$$

$$f_c = \frac{c}{\lambda_c} = \frac{3 \times 10^8}{10.67 \times 10^{-2}} = 0.281 \times 10^{10} \text{Hz} = 2.81 \text{GHz}$$



4. 如图所示，有两个在空间原点分别沿 x 轴和 y 轴放置的短振子天线，这两个短振子天线由同一个源激励，激励功率相等，中心激励点电流均为 I_0 、振子长度 $l_1 = l_2 = l$ 。激励电流的相位可以通过移相器改变。

(1) 调整移相器可改变 x 方向取向的短振子天线的激励电流相位 φ_x 与 y 方向取向短振子天线激励电流 φ_y 之差 $\varphi = \varphi_x - \varphi_y$ ，问 φ 为何值时，该天线系统在 $+z$ 轴方向远区的辐射是圆极化波，并说明何时是左旋圆极化波，何时是右旋圆极化波？



(2) 证明，当其中一个短振子天线比另一个短振子天线落后 $\pi/2$ 相位， x - y 平面内的辐射方向图是一个圆；并说明此时合成场的极化特性。

解：

(1) 短振子天线等同于激励电流为 I_0 、长度 $l_1 = l_2 = l/2$ 的电偶极子，在 $+z$ 轴方向的远区， x 方向取向的短振子天线和 y 方向取向的短振子天线对应的 $\theta=90^\circ$ ，

$$x \text{ 方向取向的短振子天线的辐射电场为 } \mathbf{E}_1 = -\mathbf{x}_0 \sqrt{\frac{\mu}{\varepsilon}} \frac{jkI_0 l e^{-jkz} e^{j\varphi_x}}{8\pi z}$$

$$y \text{ 方向取向的短振子天线的辐射电场为 } \mathbf{E}_2 = -\mathbf{y}_0 \sqrt{\frac{\mu}{\varepsilon}} \frac{jkI_0 l e^{-jkz} e^{j\varphi_y}}{8\pi z}$$

$$\text{所以 } +z \text{ 轴方向的远区电场 } \mathbf{E} = \mathbf{E}_1 + \mathbf{E}_2 = -\mathbf{x}_0 \sqrt{\frac{\mu}{\varepsilon}} \frac{jkI_0 l e^{-jkz} e^{j\varphi_x}}{8\pi z} - \mathbf{y}_0 \sqrt{\frac{\mu}{\varepsilon}} \frac{jkI_0 l e^{-jkz} e^{j\varphi_y}}{8\pi z}$$

$$\varphi = \varphi_x - \varphi_y = \pm \frac{\pi}{2} \text{ 时， } z \text{ 方向远区辐射的是圆极化波}$$

$$\varphi = \varphi_x - \varphi_y = \frac{\pi}{2}, \text{ 右旋}$$

$$\varphi = \varphi_x - \varphi_y = -\frac{\pi}{2}, \text{ 左旋}$$

(2) 在 x - y 平面，

$$x \text{ 方向取向的短振子天线的辐射电场为 } \mathbf{E}_1 = \theta_0 \sqrt{\frac{\mu}{\varepsilon}} \frac{jkI_0 l e^{-jkr} e^{j\varphi_x}}{8\pi z} \sin \theta$$

$$y \text{ 方向取向的短振子天线的辐射电场为 } \mathbf{E}_2 = -\theta_0 \sqrt{\frac{\mu}{\varepsilon}} \frac{jkI_0 l e^{-jkr} e^{j\varphi_y}}{8\pi z} \cos \theta$$

所以在 x - y 平面，

$$\mathbf{E} = \mathbf{E}_1 + \mathbf{E}_2 = \theta_0 \sqrt{\frac{\mu}{\varepsilon}} \frac{jkI_0 l e^{-jkr} e^{j\varphi_x}}{8\pi z} \sin \theta - \theta_0 \sqrt{\frac{\mu}{\varepsilon}} \frac{jkI_0 l e^{-jkr} e^{j\varphi_y}}{8\pi z} \cos \theta$$

$$\text{如 果 } \varphi = \varphi_x - \varphi_y = \pm \frac{\pi}{2}, \text{ 则}$$

$$\mathbf{E} = \mathbf{E}_1 + \mathbf{E}_2 = \theta_0 \sqrt{\frac{\mu}{\varepsilon}} \frac{jkI_0 l e^{-jkr}}{8\pi z} (\sin \theta \pm j \cos \theta) = \theta_0 \sqrt{\frac{\mu}{\varepsilon}} \frac{jkI_0 l e^{-jkr}}{8\pi z} e^{-j\alpha}, \text{ 其中 } (\alpha = \tan^{-1}(\frac{\pm \cos \theta}{\sin \theta}))$$

其振幅是一个圆，该合成波为线极化波。

